

大阪大学大学院 学生員 道奥 康治  
 大阪大学工学部 正員 室田 明  
 大阪大学工学部 正員 平田 健正

1. はじめに；成層密度流において連行機構を解明する際、界面に発生・発達する内部波が重要な鍵となる。本研究では界面近傍を可視化することにより、こういった内部波を従来よりミクロ的にとらえ、内部波が連行機構と如何に結びついているかを主として定性的に考察し、連行機構解明のアプローチとならんことを目的とする。界面可視化の手法として、従来からよく用いられているトレーサ追跡法ではなく、光学的手法であるシュリーレン法を導入し、流れの場を直接観察した。

2. 実験装置と方法；実験に用いた水路は前報と同様である。流速分布は水素気泡法により測定した。相対密度差、 $\epsilon$ (=1.8/1.83)は0.017~0.026の8ケース、内部フレード数範囲は0.41~0.57の範囲で実験を行なった。シュリーレン法とは光の回折現象を利用して密度差を有する流体を可視化する手法である。<sup>2)</sup>すなわち、ある点光源より発せられた光束が密度成層場を通過する際、その密度差により光の位相に微弱なずれが生じる。この光束を凸レンズまたは凹面鏡で集光し、回折像の焦点上にあがれたナイフエッジで幾何光学的像を遮断すれば回折像のみが抽出でき、密度差がより強調されて明暗の縞模様となってフィルム面上に記録される。本実験のシュリーレン装置の可視化範囲は直徑6cmの円内であり、約4cm/secで35mmフィルム面上に記録した。

3. 内部波特性；内部波には大きく分類して伝播速度の速い波(写真1, 2)と遅い波(写真3)の2種類が存在することが観察された。前者をinternal ripple wave(以下i.r.波と略す)と名付ける。i.r.波はさらに、cusping breakを呈しているもの(写真1)とtail状に上層へ舞い上がったようなもの(写真2)の2種類からなることが判明した。ともに波速は5~7cm/secである。後者はその波形が以下に詳述するように、波速および波形が表面張力波に類似していることからinternal capillary wave(以下i.c.波と略す)と名付ける。波速はi.r.波よりかなり小さく、たゞだか3cm/secで波長は2~5cm程度である。

3.1 internal capillary wave；この内部波はcrestにおいて比較的平坦なのにに対し troughは深く下層側へ侵入しており、一般的重力波とは形を異にしている。また波形勾配が大きく0.2~0.5で前述のi.r.波に対してvolumeが大きい。エネルギー含有波にもかかわらず波速が一定せず数秒~10秒程度で発生・発達・減衰を繰返す寿命の短い波である。また発達するに伴い troughがレディに鋭くなり、さらに進むと troughで界面が乱れ上層の淡水が下層の塩水側へ混入し、その淡水塊が上流側へ巻き込まれていくのが観察された。(写真3参照)少なくとも troughで碎波するまでは全体として流線が連続しており、あくまで波として存在している。特筆すべきことはi.c.波自身が直接連行量に関与することはないが、界面下を希釈することにより、間接的に界面連行を促進させる。波形およびtroughでの碎波等、表面張力波と類似した特性を有しており、筆者らは Crapper<sup>3)</sup>らが誘導した表

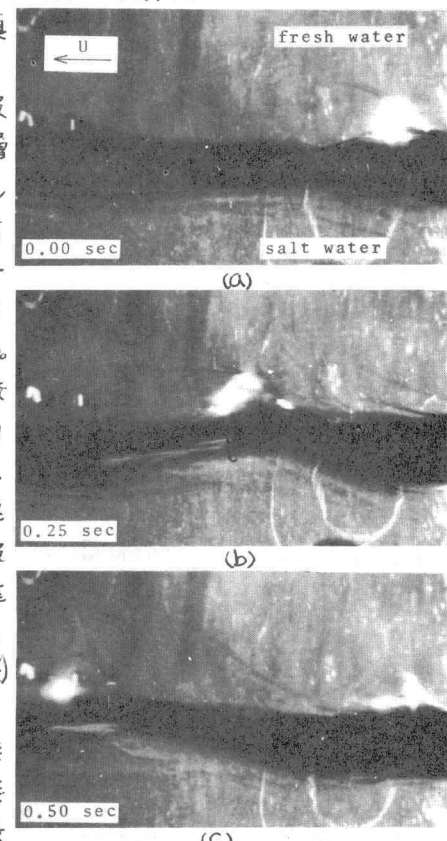


写真1 internal ripple wave (cusp状)

面張力波とこの波を波速において比較することを試みた。(1)式は (m-poly) が重力項を無視して求めた表面張力波の波速  $C_0$  の厳密解である。

$$C_0 = (2\pi\Gamma/\rho\lambda)^{\frac{1}{2}} \cdot (1 + \pi\alpha^2/4\lambda^2)^{-\frac{1}{4}} \quad (1)$$

ここに,  $\Gamma$ : 界面張力,  $\rho$ : 密度,  $\alpha$ : 波高,  $\lambda$ : 波長 である。

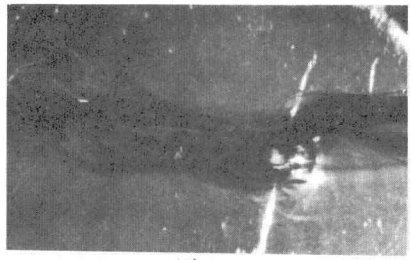
(1)式における  $\Gamma$  による界面張力とでも言うべきものを Antonoff の定理より  $\Gamma \approx 1.5 \text{ dyne}^2$  と求め, 実測の i.C. 波の波長・波高を代入して求めた理論波速  $C_0$  と実測の波速  $C_r$  を比較したものを見図-1 に示す。この図からわかるように若干のばらつきはあるもののオーダー的に一致しており, さらに波形についても満足すべき一致を得ている<sup>2)</sup>。また限界波形勾配は実測において 0.2 程度であり, Schooley<sup>4)</sup> が表面波の実験で得た限界波形勾配 0.2~0.4 という値にも近いことから i.C. 波の復元力として界面張力の関与が認められる。

3.2 internal ripple wave; これは前述のごとく 2 つのタイプが存在する。cusp 状のもの(写真 1)はその変形過程において最初の間は crest において比較的丸みを帯びているが, 下流側へ伝播するにつれてレディに尖ってくる。そして crest 付近で碎け始め下流側へと巻き込まれていく。その碎ける様子は上層へ波自身が吸い上げられ, 波の volume が減少していくようである。一方 tail 状のもの(写真 2)は i.C. 波の trough における碎波部分から上方へ飛び出した塩水塊が

主流にひきずられるように伝播していくもので, 伝播に伴い上方へ混入し, やがて消滅する。ともに上層へ混合していくという過程から察して, これら 2 つの i.r. 波が成層界面からの進行の本質と考えられる。さらにこの事実から i.r. 波の波速  $C_r$  には主流による移流効果が卓越するものと考えられ, 上層の平均流速  $U_1$  と  $C_r$  の関係を図-2 に示した。同時に比較のため i.C. 波の波速  $C_0$  も併記した。図からもわかるように  $C_r$  と  $U_1$  の間には正の相関のあることが認められ i.r. 波は主流に移流された塩水塊とも考えられる。これに反して i.C. 波の波速  $C_0$  は  $U_1$  とはほとんど無相関であり, i.r. 波とは全く性質を異にする内部波であることが再確認された。しかし, i.r. 波のうち tail 状のものが i.C. 波の trough から発生することや cusp 状のものが i.C. 波の変形過程の後の姿であるとも考えられることから i.C. 波と i.r. 波の間の関連性を今後、究明する必要がある。

## 参考文献

- 1) 室田・平田・沢田 第31回年次学術講演会講演概要
- 2) 室田・平田・道奥 昭和52年度関西支部年次学術講演会講演概要
- 3) Crapper G.D. J. of Fluid Mech. Vol. 2 pp.532~570 (1957)
- 4) Schooley A.H. J. of Mar. Res. pp.101 (1958)



(a)



写真 2 internal ripple wave (tail 状)

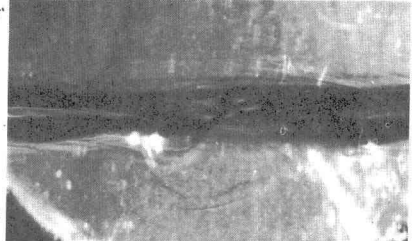


写真 3 internal capillary wave.

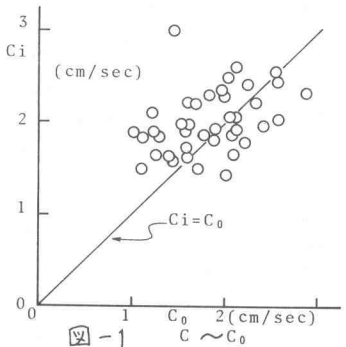


図-1

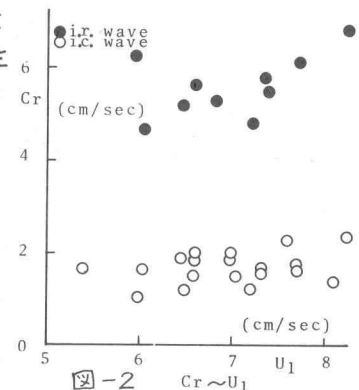


図-2